

AKTUALIZACJA DANYCH INSTALACJI PO WPROWADZENIU ZMIANY NIEISTOTNEJ

I. Wypełnia podmiot prowadzący instalację dokonujący jej zgłoszenia

1. Nazwa i adres organu ochrony środowiska właściwego do przyjęcia zgłoszenia

Starostwo Powiatowe w Wołominie
Wydział Ochrony Środowiska
ul. Prądzyńskiego 3
05-200 Wołomin

2. Nazwa instalacji zgodna z nazewnictwem stosowanym przez prowadzącego instalację

WLM3301_F (zgłoszenie nr 8)

3. Określenie nazw jednostek terytorialnych (gmin, powiatów i województw), na których terenie znajduje się instalacja, wraz podaniem symboli NTS jednostek terytorialnych, na których terenie znajduje się instalacja.

woj. MAZOWIECKIE 2.1.14 (KTS: 1007140000000), pow. wołomiński 4.1.14.29.34 (KTS: 10071412934000),
gm. Radzymin 5.1.14.29.34.09.3 (KTS: 10071412934093)

4. Oznaczenie prowadzącego instalację, jego adres zamieszkania lub siedziby

P4 Sp. z o.o., ul. Taśmowa 7, 02-677 Warszawa

5. Adres zakładu, na którego terenie prowadzona jest eksploatacja instalacji

05-250 Radzymin, Jana Pawła II 8, gm. Radzymin, pow. wołomiński

6. Rodzaj instalacji zgodnie z załącznikiem nr 2 rozporządzenia Ministra Środowiska z dnia 2 lipca 2010r. w sprawie zgłoszenia instalacji wytwarzających pola elektromagnetyczne (Dz. U. nr 130, poz. 879).

Instalacja radiokomunikacyjna, której moc promieniowana izotropowo wynosi nie mniej niż 15W, emitująca pola elektromagnetyczne o częstotliwościach od 30 kHz do 300 GHz.

7. Rodzaj i zakres prowadzonej działalności, w tym wielkość produkcji lub wielkość świadczonych usług.

Usługi telekomunikacyjne bez prowadzenia produkcji. Wielkość świadczonych usług: usługi telekomunikacyjne dla ilości do 2000 użytkowników jednocześnie.

8. Czas funkcjonowania instalacji (dni tygodnia i godziny)

Wszystkie dni tygodnia, 24 godziny na dobę.

9. Emisja pola elektromagnetycznego o równoważnych mocach promieniowanych izotropowo (EIRP) poszczególnych anten:

Antena Sektorowa 11_DHLNU: 16147W
Antena Sektorowa 11_DHLNU: 13569W
Antena Sektorowa 12_TV: 4108W
Antena Sektorowa 12_TV: 3926W
Antena Sektorowa 21_DHLNU: 16147W
Antena Sektorowa 21_DHLNU: 13569W
Antena Sektorowa 22_TV: 4108W
Antena Sektorowa 22_TV: 3926W
Antena Sektorowa 31_DHLNU: 16147W
Antena Sektorowa 31_DHLNU: 13569W
Antena Sektorowa 32_TV: 4108W
Antena Sektorowa 32_TV: 3926W
Radiolinia RL1: 7079W
Radiolinia RL2: 7079W
Radiolinia RL3: 1413W
Radiolinia RL4: 8822W

10. Opis stosowanych metod ograniczenia emisji

Instalacja ogranicza wielkość emisji w sposób automatyczny do wartości nie większych niż niezbędne do zapewnienia obsługi użytkowników sieci. Metoda zgodna z zasadą działania systemu telefonii komórkowej określona odpowiednimi normami.

11. Informacja czy stopień ograniczenia wielkości emisji jest zgodny z obowiązującymi przepisami

Konstrukcja stacji ogranicza wielkość emisji, tak że obowiązujące przepisy i normy dotyczące pól

elektromagnetycznych są zachowane.

12. Szczegółowe dane odpowiednio do rodzaju instalacji zgodnie z wymaganiami określonymi w załączniku 2 do rozporządzenia

LP 1.	<p>Współrzędne geograficzne anten instalacji:</p> <p><i>Antena Sektorowa 11_DHLNU: (21°10'45.3"E,52°25'02.5"N)</i> <i>Antena Sektorowa 11_DHLNU: (21°10'45.3"E,52°25'02.5"N)</i> <i>Antena Sektorowa 12_TV: (21°10'45.3"E,52°25'02.5"N)</i> <i>Antena Sektorowa 12_TV: (21°10'45.3"E,52°25'02.5"N)</i> <i>Antena Sektorowa 21_DHLNU: (21°10'45.3"E,52°25'02.5"N)</i> <i>Antena Sektorowa 21_DHLNU: (21°10'45.3"E,52°25'02.5"N)</i> <i>Antena Sektorowa 22_TV: (21°10'45.3"E,52°25'02.5"N)</i> <i>Antena Sektorowa 22_TV: (21°10'45.3"E,52°25'02.5"N)</i> <i>Antena Sektorowa 31_DHLNU: (21°10'45.3"E,52°25'02.5"N)</i> <i>Antena Sektorowa 31_DHLNU: (21°10'45.3"E,52°25'02.5"N)</i> <i>Antena Sektorowa 32_TV: (21°10'45.3"E,52°25'02.5"N)</i> <i>Antena Sektorowa 32_TV: (21°10'45.3"E,52°25'02.5"N)</i> <i>Radiolinia RL1: (21°10'45.3"E,52°25'02.5"N)</i> <i>Radiolinia RL2: (21°10'45.3"E,52°25'02.5"N)</i> <i>Radiolinia RL3: (21°10'45.3"E,52°25'02.5"N)</i> <i>Radiolinia RL4: (21°10'45.3"E,52°25'02.5"N)</i></p>
LP 2.	<p>Częstotliwość pracy instalacji: 800MHz,900MHz,1800MHz,2100MHz,2600MHz,23GHz,80GHz</p>
LP 3.	<p>Wysokość środków elektrycznych anten nad poziomem terenu:</p> <p><i>Antena Sektorowa 11_DHLNU: 25,30m</i> <i>Antena Sektorowa 11_DHLNU: 25,30m</i> <i>Antena Sektorowa 12_TV: 25,30m</i> <i>Antena Sektorowa 12_TV: 25,30m</i> <i>Antena Sektorowa 21_DHLNU: 25,30m</i> <i>Antena Sektorowa 21_DHLNU: 25,30m</i> <i>Antena Sektorowa 22_TV: 25,30m</i> <i>Antena Sektorowa 22_TV: 25,30m</i> <i>Antena Sektorowa 31_DHLNU: 25,30m</i> <i>Antena Sektorowa 31_DHLNU: 25,30m</i> <i>Antena Sektorowa 32_TV: 25,30m</i> <i>Antena Sektorowa 32_TV: 25,30m</i> <i>Radiolinia RL1: 23,60m</i> <i>Radiolinia RL2: 23,60m</i> <i>Radiolinia RL3: 23,60m</i> <i>Radiolinia RL4: 23,60m</i></p>
LP 4.	<p>Emisja pola elektromagnetycznego o równoważnych mocach promieniowanych izotropowo (EIRP) poszczególnych anten:</p> <p><i>Antena Sektorowa 11_DHLNU: 16147W</i> <i>Antena Sektorowa 11_DHLNU: 13569W</i> <i>Antena Sektorowa 12_TV: 4108W</i> <i>Antena Sektorowa 12_TV: 3926W</i> <i>Antena Sektorowa 21_DHLNU: 16147W</i> <i>Antena Sektorowa 21_DHLNU: 13569W</i> <i>Antena Sektorowa 22_TV: 4108W</i></p>

	<p>Antena Sektorowa 22_TV: 3926W Antena Sektorowa 31_DHLNU: 16147W Antena Sektorowa 31_DHLNU: 13569W Antena Sektorowa 32_TV: 4108W Antena Sektorowa 32_TV: 3926W Radiolinia RL1: 7079W Radiolinia RL2: 7079W Radiolinia RL3: 1413W Radiolinia RL4: 8822W</p>
LP 5.	<p>Zakresy azymutów i kątów pochylenia osi głównych wiązek promieniowania poszczególnych anten Instalacji:</p> <p>Antena Sektorowa 11_DHLNU: azymut 30° , pochylenie 0-1° (1800MHz), pochylenie 0-1° (2100MHz), pochylenie 0-1° (2600MHz) Antena Sektorowa 11_DHLNU: azymut 90° , pochylenie 0-1° (1800MHz), pochylenie 0-1° (2100MHz), pochylenie 0-1° (2600MHz) Antena Sektorowa 12_TV: azymut 33° , pochylenie 0-5° (800MHz), pochylenie 0-5° (900MHz) Antena Sektorowa 12_TV: azymut 87° , pochylenie 0-8° (800MHz), pochylenie 0-8° (900MHz) Antena Sektorowa 21_DHLNU: azymut 150° , pochylenie 0-3° (1800MHz), pochylenie 0-3° (2100MHz), pochylenie 0-3° (2600MHz) Antena Sektorowa 21_DHLNU: azymut 210° , pochylenie 0-4° (1800MHz), pochylenie 0-4° (2100MHz), pochylenie 0-4° (2600MHz) Antena Sektorowa 22_TV: azymut 153° , pochylenie 0-6° (800MHz), pochylenie 0-6° (900MHz) Antena Sektorowa 22_TV: azymut 207° , pochylenie 0-8° (800MHz), pochylenie 0-8° (900MHz) Antena Sektorowa 31_DHLNU: azymut 270° , pochylenie 0-3° (1800MHz), pochylenie 0-3° (2100MHz), pochylenie 0-3° (2600MHz) Antena Sektorowa 31_DHLNU: azymut 330° , pochylenie 0-3° (1800MHz), pochylenie 0-3° (2100MHz), pochylenie 0-3° (2600MHz) Antena Sektorowa 32_TV: azymut 273° , pochylenie 0-8° (800MHz), pochylenie 0-8° (900MHz) Antena Sektorowa 32_TV: azymut 327° , pochylenie 0-8° (800MHz), pochylenie 0-8° (900MHz) Radiolinia RL1: azymut 75° +/-30° , pochylenie 0° Radiolinia RL2: azymut 207° +/-30° , pochylenie 0° Radiolinia RL3: azymut 272° +/-30° , pochylenie 0° Radiolinia RL4: azymut 336° +/-30° , pochylenie 0°</p>
LP 6.	<p>Dla anteny Antena Sektorowa 11_DHLNU miejsca dostępne dla ludności nie znajdują się w określonej we wskazanym poniżej rozporządzeniu odległości od środka elektrycznego anteny w osi jej głównej wiązki promieniowania, Dla anteny Antena Sektorowa 11_DHLNU miejsca dostępne dla ludności nie znajdują się w określonej we wskazanym poniżej rozporządzeniu odległości od środka elektrycznego anteny w osi jej głównej wiązki promieniowania, Dla anteny Antena Sektorowa 12_TV miejsca dostępne dla ludności nie znajdują się w określonej we wskazanym poniżej rozporządzeniu odległości od środka elektrycznego anteny w osi jej głównej wiązki promieniowania, Dla anteny Antena Sektorowa 12_TV miejsca dostępne dla ludności nie znajdują się w określonej we wskazanym poniżej rozporządzeniu odległości od środka elektrycznego anteny w osi jej głównej wiązki promieniowania, Dla anteny Antena Sektorowa 21_DHLNU miejsca dostępne dla ludności nie znajdują się w określonej we wskazanym poniżej rozporządzeniu odległości od środka elektrycznego anteny w osi jej głównej wiązki promieniowania, Dla anteny Antena Sektorowa 21_DHLNU miejsca dostępne dla ludności nie znajdują się w określonej we wskazanym poniżej rozporządzeniu odległości od środka elektrycznego anteny w osi jej głównej wiązki promieniowania,</p>

	<p>Dla anteny Antena Sektorowa 22_TV miejsca dostępne dla ludności nie znajdują się w określonej we wskazanym poniżej rozporządzeniu odległości od środka elektrycznego anteny w osi jej głównej wiązki promieniowania,</p> <p>Dla anteny Antena Sektorowa 22_TV miejsca dostępne dla ludności nie znajdują się w określonej we wskazanym poniżej rozporządzeniu odległości od środka elektrycznego anteny w osi jej głównej wiązki promieniowania,</p> <p>Dla anteny Antena Sektorowa 31_DHLNU miejsca dostępne dla ludności nie znajdują się w określonej we wskazanym poniżej rozporządzeniu odległości od środka elektrycznego anteny w osi jej głównej wiązki promieniowania,</p> <p>Dla anteny Antena Sektorowa 31_DHLNU miejsca dostępne dla ludności nie znajdują się w określonej we wskazanym poniżej rozporządzeniu odległości od środka elektrycznego anteny w osi jej głównej wiązki promieniowania,</p> <p>Dla anteny Antena Sektorowa 32_TV miejsca dostępne dla ludności nie znajdują się w określonej we wskazanym poniżej rozporządzeniu odległości od środka elektrycznego anteny w osi jej głównej wiązki promieniowania,</p> <p>Dla anteny Antena Sektorowa 32_TV miejsca dostępne dla ludności nie znajdują się w określonej we wskazanym poniżej rozporządzeniu odległości od środka elektrycznego anteny w osi jej głównej wiązki promieniowania,</p> <p>a zatem, zgodnie z przepisami wydanymi na podstawie art. 60 ustawy z dnia 3 października 2008r. o udostępnianiu informacji o środowisku i jego ochronie, udziale społeczeństwa w ochronie środowiska oraz o ocenach oddziaływania na środowisko, tj. Rozporządzeniem Rady Ministrów z dnia 10 września 2019 r. w sprawie przedsięwzięć mogących znacząco oddziaływać na środowisko (Dz.U. 2019 poz. 1839), przedmiotowa instalacja nie jest kwalifikowana jako przedsięwzięcie mogące zawsze bądź mogące potencjalnie znacząco oddziaływać na środowisko.</p>
LP 7.	Wyniki pomiarów poziomów pól elektromagnetycznych – jako załącznik (raport z pomiarów)
<p>13. Miejscowość, data: Warszawa, 2020-04-16</p> <p>Imię i nazwisko osoby reprezentującej prowadzącego instalację:</p> <p>Podpis:</p> <p style="text-align: right;">Agnieszka Kalinowska <i>A. Kalinowska</i></p>	
<p>II. Wypełnia organ ochrony środowiska przyjmujący zgłoszenie</p> <p style="text-align: right;">Pełnomocnik Zarządu</p>	
Data zarejestrowania zgłoszenia	Numer zgłoszenia
<i>16.06.2020r.</i>	<i>NOS 6221 22 2020.MZ</i>



Laboratorium EMVO Sp. J. Urbański, Pawełak
ul. Jasna 1
00-013 Warszawa

tel. +48 22 780 29 64
e-mail: laboratorium@emvo.pl



AB 1630

**Sprawozdanie z pomiarów pól elektromagnetycznych - środowisko ogólne
nr 31/02/OŚ/2020- P4-W**



Nr i nazwa stacji	WLM3301	
Adres	Radzymin, ul. Jana Pawła II 8	
Opracowanie	Martyna Karczmarczyk	Specjalista ds. pomiarów
Autoryzacja	Andrzej Urbański	Kierownik Laboratorium
Podpis	Podpis jest prawidłowy Dokument podpisany przez Andrzej Urbański Data: 2020.04.15 09:58:56 CEST Powód: Zatwierdzam dokument	
Data	2020-04-06	

Spis treści

1. Informacje ogólne.....	3
2. Podstawa prawna.....	3
3. Opis pomiarów.....	3
4. Zróżnicowanie dopuszczalne poziomy pól elektromagnetycznych.....	4
5. Charakterystyka źródeł PEM.....	4
6. Wyniki pomiarów.....	4
7. Stwierdzenie zgodności.....	9
8. Oświadczenie.....	9
9. Spis załączników.....	9

1. Informacje ogólne.

Zleceniodawca	P4 sp. z o.o., ul. Taśmowa 7, 02-677 Warszawa osoba udzielająca informacji- Monika Jankowska
Istotne informacje dostarczone przez zleceniodawcę	komplet informacji niezbędnych do wykonania pomiarów i opracowania sprawozdania
Prowadzący instalację	P4 sp. z o.o., ul. Taśmowa 7, 02-677 Warszawa
Lokalizacja obiektu	Radzymin, ul. Jana Pawła II 8
Miejsce instalacji anten	Maszt na dachu
Miejsce instalacji urządzeń	Outdoor
Osoby wykonujące pomiar	Jakub Frączak, Andrzej Urbański
Data wykonania pomiaru	06.04.2020
Temperatura na początku pomiaru [°C]	18,0
Temperatura na koniec pomiaru [°C]	16,0
Warunki atmosferyczne	Brak opadów
Wilgotność na początku pomiaru [%]	49,7
Wilgotność na koniec pomiaru [%]	45,6
Inne źródła pól elektromagnetycznych	Występują
Parametry pracy instalacji	Maksymalny, stacja skonfigurowana na tryb pomiarowy – wysłano sms z ustalonej treści do NOC.

2. Podstawa prawna.

2.1 Normy i rozporządzenia:

- Rozporządzeniem Ministra Klimatu z dnia 17 lutego 2020 r. w sprawie sposobów sprawdzania dotrzymania dopuszczalnych poziomów pól elektromagnetycznych w środowisku (Dz.U. 2020 poz. 258)
- Rozporządzenie Ministra Zdrowia z dnia 17 grudnia 2019 r. w sprawie dopuszczalnych poziomów pól elektromagnetycznych w środowisku (Dz.U. 2019 poz. 2448)
- Obwieszczenie Marszałka Sejmu Rzeczypospolitej Polskiej z dnia 19 lipca 2019 r. w sprawie ogłoszenia jednolitego tekstu ustawy - Prawo ochrony środowiska (Dz.U. 2019 poz. 1396).

3. Opis pomiarów

Metodologia pomiarowa	Pomiary w oparciu o Rozporządzeniem Ministra Klimatu z dnia 17 lutego 2020 r. w sprawie sposobów sprawdzania dotrzymania dopuszczalnych poziomów pól elektromagnetycznych w środowisku (Dz.U. 2020 poz. 258), Dokument PCA DAB-18 „Program akredytacji laboratoriów badawczych wykonujących pomiary pola elektromagnetycznego w środowisku” wyd. 1, Warszawa, 02.02.2017 r.
-----------------------	---

„Bez pisemnej zgody Laboratorium niniejsze sprawozdanie nie może być powielane inaczej, jak tylko w całości. Ponadto wyniki dotyczą tylko badanych obiektów przywołanych w niniejszym sprawozdaniu z badań”

Cel badań	Określenie wartości natężenia pola elektrycznego w miejscach dostępnych dla ludności.
Opis zestawu pomiarowego	Miernik Narda NBM 520, Sonda EF 9091, o zakresie pomiarowym 0,7 V/m - 400V/m pracująca w paśmie 0,1 – 90 GHz, świadectwo wydane przez Laboratorium Wzorców i Metrologii Pola Elektromagnetycznego, Instytut Telekomunikacji, Teleinformatyki i Akustyki Politechniki Wrocławskiej. Świadectwo ważne do 15.07.2021r. Miernik Narda NBM 520, Sonda EF 9091 pracująca w zakresie temperatury -10°C - +50°C oraz wilgotności 5% - 95%. Niepewność rozszerzona wynosi 56,4% przy poziomie ufności 95% z uwzględnieniem współczynnika rozszerzenia k=2.
Wyposażenie pomocnicze	Termohigrometr Termoprodukt, typ: Termik+, nr identyfikacyjny 700618, świadectwo wzorcowania nr 1763/AH/19 z dn. 29.07.2019 r. wydane przez Laboratorium Pomiarowe "MUTECH". Przymiar wstępowy STABILA, nr identyfikacyjny 31WL, świadectwo wzorcowania nr 6W1/1826/19 z dn. 02.08.2019 r. wydane przez Dyrektora Okręgowego Urzędu Miar w Gdańsku. GPS Garmin 64s okresowo sprawdzany w punktach osnowy geodezyjnej klasy 3 na podstawie licencji punktu, zgodnie z procedurą sprawdzeń okresowych IS/PO16-11/03.
Sposób powiadamiania dysponentów	Zgodnie z pkt 14 załącznika do rozporządzenia Ministra Klimatu z dnia 17 lutego 2020 r. (poz. 258) poinformowano dysponentów lokali o planowanych pomiarach. Informacji dokonano między innymi poprzez: 1. bloki mieszkalne - zawiadomienie spółdzielni mieszkaniowej, zarządcy nieruchomości, zarządu wspólnoty, umieszczenie informacji o planowanych pomiarach na tablicach ogłoszeń w klatkach schodowych bloków lub na drzwiach wejściowych, 2. biurowce, budynki użyteczności publicznej itp. - przekazanie zawiadomienia do administracji lub recepcji obiektu, 3. domy jednorodzinne, szeregowce itp.- pozostawienie informacji w skrynkach pocztowych lub przekazanie osobiste.

4. Zróżnicowanie dopuszczalne poziomy pól elektromagnetycznych.

Zakresy znajdują się w Dzienniku Ustaw z dnia 17 grudnia 2019 r. przedstawione są w tabeli nr 2 (Dz. U. z 2019r. poz. 2448).

Parametr fizyczny	Składowa elektryczna E (V/m)	Składowa magnetyczna H (A/m)	Gęstość mocy S (W/m ²)
Zakres Częstotliwości pola elektromagnetycznego			
od 400 MHz do 2000 MHz	$1,375 \times f^{0,5}$	$0,0037 \times f^{0,5}$	$f / 200$
od 2 GHz do 300 GHz	61	0,16	10

5. Charakterystyka źródeł PEM.

Zgodnie z informacją otrzymaną od Zleceniodawcy pomiary zostały wykonane przy ustawieniach pochyleń anten zgodnych z pkt. 13, ppkt 2 rozporządzenia Ministra Klimatu z dnia 17 lutego 2020 roku.

Tabela 1. Anteny sektorowe

„Bez pisemnej zgody Laboratorium niniejsze sprawozdanie nie może być powielane inaczej, jak tylko w całości. Ponadto wyniki dotyczą tylko badanych obiektów przywołanych w niniejszym sprawozdaniu z badań”

Charakterystyka promieniowania		kierunkowa									
Rzeczywisty czas pracy [h/dobę]		24									
Rodzaj wytwarzanego pola		stacjonarne									
Lp	Wyszczególnienie	sektor 1		sektor 2		sektor 3		sektor 4			
I	Nadajnik stacji bazowej:										
1	Typ / Producent	DBS / Huawei									
2	Częstotliwość (pasmo) MHz	2600	2100	1800	900	800	900	800	2600	2100	1800
3	Maksymalna moc nadawana na sektor [dBm]	49,03	47,78	50,79	46,02	46,02	46,02	46,02	49,03	47,78	50,79
II	Obciążenie:										
1	Typ anteny	Huawei AMB4520R0		Commscope 2CPX208R		Commscope 2CPX208R		Huawei AMB4520R0			
2	Producent anteny	Huawei		Commscope		Commscope		Huawei			
3	Ilość anten	1		1		1		1			
4	Azymut	30		33		87		90			
5	Zakres kątów pochylecia anten [°]	0,00-1,00		0,00-5,00		0,00-8,00		0,00-1,00			
6	Wysokość zainst. n.p.t. [m]	25,30		25,30		25,30		25,30			
7	EIRP [W]	16147		4108		3926		13569			

Charakterystyka promieniowania		kierunkowa									
Rzeczywisty czas pracy [h/dobę]		24									
Rodzaj wytwarzanego pola		stacjonarne									
Lp	Wyszczególnienie	sektor 5		sektor 6		sektor 7		sektor 8			
I	Nadajnik stacji bazowej:										
1	Typ / Producent	DBS / Huawei									
2	Częstotliwość (pasmo) MHz	2600	2100	1800	900	800	900	800	2600	2100	1800
3	Maksymalna moc nadawana na sektor [dBm]	49,03	47,78	50,79	46,02	46,02	46,02	46,02	49,03	47,78	50,79
II	Obciążenie:										
1	Typ anteny	Huawei AMB4520R0		Commscope 2CPX208R		Commscope 2CPX208R		Huawei AMB4520R0			
2	Producent anteny	Huawei		Commscope		Commscope		Huawei			
3	Ilość anten	1		1		1		1			
4	Azymut	150		153		207		210			
5	Zakres kątów pochylecia anten [°]	0,00-3,00		0,00-6,00		0,00-8,00		0,00-4,00			
6	Wysokość zainst. n.p.t. [m]	25,30		25,30		25,30		25,30			
7	EIRP [W]	16147		4108		3926		13569			

Charakterystyka promieniowania		kierunkowa									
Rzeczywisty czas pracy [h/dobę]		24									
Rodzaj wytwarzanego pola		stacjonarne									
Lp	Wyszczególnienie	sektor 9		sektor 10		sektor 11		sektor 12			
I											
Nadajnik stacji bazowej:											
1	Typ / Producent	DBS / Huawei									
2	Częstotliwość (pasmo) MHz	2600	2100	1800	900	800	900	800	2600	2100	1800
3	Maksymalna moc nadawana na sektor [dBm]	49,03	47,78	50,79	46,02	46,02	46,02	46,02	49,03	47,78	50,79
II											
Obciążenie:											
1	Typ anteny	Huawei AMB4520R0		Commscope 2CPX208R		Commscope 2CPX208R		Huawei AMB4520R0			
2	Producent anteny	Huawei		Commscope		Commscope		Huawei			
3	Ilość anten	1		1		1		1			
4	Azymut	270		273		327		330			
5	Zakres kątów pochylenia anten [°]	0,00-3,00		0,00-8,00		0,00-8,00		0,00-3,00			
6	Wysokość zainst. ant. [m]	25,30		25,3		25,3		25,3			
7	EIRP [W]	16147		4108		3926		13569			

Tabela 2. Anteny radioliniowe

Charakterystyka promieniowania				kierunkowa			
Rzeczywisty czas pracy [h/dobę]				24			
Rodzaj wytwarzanego pola				stacjonarne			
Linia radiowa				Antena			
Lp	typ/producent	częstotliwość pracy [GHz]	moc wyjściowa [dBm]	typ/producent	średnica anteny [m]	azymut [°]	wysokość zainstal. [m]
1	OPTIX RTN/HUAWEI	80	18	VHLP2-80/Andrew	0,6	75	23,60
2	OPTIX RTN/HUAWEI	80	18	VHLP2-80/Andrew	0,6	207	23,60
3	OPTIX RTN/HUAWEI	80	18	VHLP1-80/Andrew	0,3	272	23,60
4	OPTIX RTN/HUAWEI	80/23	18/25	A23S80S06/Huawei	0,6	336	23,60

6. Wyniki pomiarów.

Wyniki pomiarów pól elektromagnetycznych dla celów ochrony środowiska przedstawia poniższa tabela. Piony pomiarowe zostały przedstawione w zał. 2.

Nr PP	Pole-E [V/m]	Pole-E *C _b , C _s , +U [V/m]	Pole-H [A/m]	Pole-H *C _b , C _s , +U [A/m]	Wys. pomiaru [m]	Opis pionu	Uwagi	W _{ME}	W _{MH}
1	1,3	4,07	0,003	0,011	1,2	N:52°25'04.10" E:21°10'46.81"	otoczenie stacji bazowej - 50m wzdłuż gł. osi promieniowania - GKP	0,105	0,103
2	1,1	3,44	0,003	0,009	1,1	N:52°25'05.57" E:21°10'48.23"	otoczenie stacji bazowej - 100m wzdłuż gł. osi promieniowania - GKP	0,088	0,087
3	<0,7*	-	<0,002	-	0,3-2,0	N:52°25'06.64" E:21°10'49.54"	otoczenie stacji bazowej - 150m wzdłuż gł. osi promieniowania - GKP	-	-
4	1,0	3,13	0,003	0,008	0,9	N:52°25'02.58" E:21°10'48.39"	otoczenie stacji bazowej - 50m wzdłuż gł. osi promieniowania - GKP	0,080	0,079
5	2,3	7,19	0,006	0,019	1,1	N:52°25'02.65" E:21°10'51.03"	otoczenie stacji bazowej - 100m wzdłuż gł. osi promieniowania - GKP	0,185	0,182
6	<0,7*	-	<0,002	-	0,3-2,0	N:52°25'02.53" E:21°10'58.42"	otoczenie stacji bazowej - 253m wzdłuż gł. osi promieniowania - GKP	-	-
7	1,7	5,32	0,005	0,014	1,0	N:52°25'01.25" E:21°10'46.31"	otoczenie stacji bazowej - 100m wzdłuż gł. osi promieniowania - GKP	0,137	0,135

„Bez pisemnej zgody Laboratorium niniejsze sprawozdanie nie może być powielane inaczej, jak tylko w całości. Ponadto wyniki dotyczą tylko badanych obiektów przywołanych w niniejszym sprawozdaniu z badań”

8	1,2	3,75	0,003	0,010	0,8	N:52°24'58.74" E:21°10'48.82"	otoczenie stacji bazowej - 150m wzdłuż gł. osi promieniowania - GKP	0,097	0,095
9	0,9	2,82	0,002	0,007	0,9	N:52°24'56.84" E:21°10'50.43"	otoczenie stacji bazowej - 200m wzdłuż gł. osi promieniowania - GKP	0,072	0,071
10	<0,7*	-	<0,002	-	0,3-2,0	N:52°24'55.33" E:21°10'51.71"	otoczenie stacji bazowej - 253m wzdłuż gł. osi promieniowania - GKP	-	-
11	1,3	4,07	0,003	0,011	1,4	N:52°25'01.02" E:21°10'43.77"	otoczenie stacji bazowej - 50m wzdłuż gł. osi promieniowania - GKP	0,105	0,103
12	1,1	3,44	0,003	0,009	1,3	N:52°24'59.64" E:21°10'42.58"	otoczenie stacji bazowej - 100m wzdłuż gł. osi promieniowania - GKP	0,088	0,087
13	1,0	3,13	0,003	0,008	1,1	N:52°24'58.28" E:21°10'41.26"	otoczenie stacji bazowej - 150m wzdłuż gł. osi promieniowania - GKP	0,080	0,079
14	<0,7*	-	<0,002	-	0,3-2,0	N:52°24'56.98" E:21°10'40.21"	otoczenie stacji bazowej - 200m wzdłuż gł. osi promieniowania - GKP	-	-
15	<0,7*	-	<0,002	-	0,3-2,0	N:52°24'55.74" E:21°10'38.61"	otoczenie stacji bazowej - 253m wzdłuż gł. osi promieniowania - GKP	-	-
16	1,1	3,44	0,003	0,009	0,8	N:52°25'02.70" E:21°10'40.10"	otoczenie stacji bazowej - 100m wzdłuż gł. osi promieniowania - GKP	0,088	0,087
17	1,3	4,07	0,003	0,011	0,9	N:52°25'02.86" E:21°10'36.94"	otoczenie stacji bazowej - 150m wzdłuż gł. osi promieniowania - GKP	0,105	0,103
18	0,9	2,82	0,002	0,007	0,9	N:52°25'03.10" E:21°10'35.13"	otoczenie stacji bazowej - 200m wzdłuż gł. osi promieniowania - GKP	0,072	0,071
19	<0,7*	-	<0,002	-	0,3-2,0	N:52°25'03.15" E:21°10'32.67"	otoczenie stacji bazowej - 253m wzdłuż gł. osi promieniowania - GKP	-	-
20	1,2	3,75	0,003	0,010	0,8	N:52°25'04.25" E:21°10'44.10"	otoczenie stacji bazowej - 50m wzdłuż gł. osi promieniowania - GKP	0,097	0,095
21	2,0	6,26	0,005	0,017	0,7	N:52°25'05.55" E:21°10'42.85"	otoczenie stacji bazowej - 100m wzdłuż gł. osi promieniowania - GKP	0,161	0,159
22	1,2	3,75	0,003	0,010	1,2	N:52°25'07.03" E:21°10'41.52"	otoczenie stacji bazowej - 150m wzdłuż gł. osi promieniowania - GKP	0,097	0,095
23	<0,7*	-	<0,002	-	0,3-2,0	N:52°25'08.80" E:21°10'39.90"	otoczenie stacji bazowej - 200m wzdłuż gł. osi promieniowania - GKP	-	-
24	<0,7*	-	<0,002	-	0,3-2,0	N:52°25'09.84" E:21°10'38.58"	otoczenie stacji bazowej - 253m wzdłuż gł. osi promieniowania - GKP	-	-
25	2,0	6,26	0,005	0,017	0,9	N:52°25'03.09" E:21°10'47.91"	otoczenie stacji bazowej - 50m wzdłuż gł. osi promieniowania - GKP	0,161	0,159
26	1,2	3,75	0,003	0,010	1,1	N:52°25'04.27" E:21°10'44.27"	otoczenie stacji bazowej - 50m wzdłuż gł. osi promieniowania - GKP	0,097	0,095
27	1,0	3,13	0,003	0,008	1,0	N:52°25'04.28" E:21°10'45.78"	otoczenie stacji bazowej - GKP	0,080	0,079
28	1,1	3,44	0,003	0,009	1,0	N:52°25'03.74" E:21°10'47.97"	otoczenie stacji bazowej - GKP	0,088	0,087
29	0,8	2,50	0,002	0,007	0,8	N:52°25'01.63" E:21°10'48.15"	otoczenie stacji bazowej - GKP	0,064	0,063
30	1,1	3,44	0,003	0,009	0,9	N:52°25'00.39" E:21°10'44.36"	otoczenie stacji bazowej - GKP	0,088	0,087
31	1,0	3,13	0,003	0,008	0,9	N:52°25'01.32" E:21°10'42.25"	otoczenie stacji bazowej - GKP	0,080	0,079
32	1,0	3,13	0,003	0,008	1,4	N:52°25'02.06" E:21°10'40.43"	otoczenie stacji bazowej - GKP	0,080	0,079
33	0,9	2,82	0,002	0,007	1,3	N:52°25'03.60" E:21°10'42.56"	otoczenie stacji bazowej - GKP	0,072	0,071
34	1,4	4,38	0,004	0,012	1,1	N:52°25'04.52" E:21°10'41.98"	otoczenie stacji bazowej - GKP	0,113	0,111
A	1,1	3,44	0,003	0,009	1,4	Aleja Jana Pawła II 8, piętro 2, okno, klatka, odmowa dysponentów pomiaru wewnątrz mieszkań** -DPP		0,088	0,087
B	<0,7*	-	<0,002	-	0,3-2,0	Aleja Jana Pawła II 8A, mieszkania 15, piętro 3, okno - DPP		-	-
C	0,8	2,50	0,002	0,007	1,2	Weteranów 15, pomiar przed budynkiem, brak dysponentów** -DPP		0,064	0,063
D	<0,7*	-	<0,002	-	0,3-2,0	Weteranów 19, pomiar przed bramą, brak dysponentów** -DPP		-	-
E	<0,7*	-	<0,002	-	0,3-2,0	Weteranów 21, pomiar przed bramą, odmowa dysponentów** -DPP		-	-
F	<0,7*	-	<0,002	-	0,3-2,0	Weteranów 25, pomiar przed bramą, brak dysponentów** -DPP		-	-

„Bez pisemnej zgody Laboratorium niniejsze sprawozdanie nie może być powielane inaczej, jak tylko w całości. Ponadto wyniki dotyczą tylko badanych obiektów przywołanych w niniejszym sprawozdaniu z badań”

G	<0,7*	-	<0,002	-	0,3-2,0	Reymonta 21, pomiar przed bramą, odmowa dysponentów** -DPP	-	-
H	<0,7*	-	<0,002	-	0,3-2,0	Reymonta 17, pomiar przed bramą, brak dysponentów** -DPP	-	-
I	<0,7*	-	<0,002	-	0,3-2,0	Reymonta 15, pomiar przed bramą, brak dysponentów** -DPP	-	-
J	1,5	4,69	0,004	0,012	1,4	Aleja Jana Pawła II 10A, pomiar przed bramą, odmowa dysponentów** -DPP	0,121	0,119
K	<0,7*	-	<0,002	-	0,3-2,0	Falandysza 8, piętro 3, okno, klatka, odmowa dysponentów pomiaru wewnątrz mieszkań** -DPP	-	-
L	<0,7*	-	<0,002	-	0,3-2,0	Falandysza 6, pomiar przed bramą, odmowa dysponentów** -DPP	-	-
M	<0,7*	-	<0,002	-	0,3-2,0	Falandysza 3, pomiar przed bramą, odmowa dysponentów** -DPP	-	-
N	<0,7*	-	<0,002	-	0,3-2,0	Aleja Jana Pawła II 18, budynek szkoły, niedostępny, pomiar przed bramą** -DPP	-	-
O	0,9	2,82	0,002	0,007	1,3	Falandysza 1, budynek usługowo-handlowy, wejście** -DPP	0,072	0,071
P	<0,7*	-	<0,002	-	0,3-2,0	Daszyńskiego 2, pomiar przed budynkiem, brak dysponentów** -DPP	-	-
R	<0,7*	-	<0,002	-	0,3-2,0	Czartoryskiego 3, pomiar przed bramą, odmowa dysponentów** -DPP	-	-
S	<0,7*	-	<0,002	-	0,3-2,0	Czartoryskiego 3A, pomiar przed bramą, odmowa dysponentów** -DPP	-	-
T	<0,7*	-	<0,002	-	0,3-2,0	Stary Rynek 7, parter, okno -DPP	-	-
U	0,8	2,50	0,002	0,007	1,5	Stary Rynek 25, pomiar przed bramą, odmowa dysponentów** -DPP	0,064	0,063
W	<0,7*	-	<0,002	-	0,3-2,0	Stary Rynek 9, pomiar przed bramą, odmowa dysponentów** -DPP	-	-
X	<0,7*	-	<0,002	-	0,3-2,0	Stary Rynek 2-8, Zduniska 12-30, budynki usługowo-handlowy, wejście -DPP	-	-
Y	0,8	2,50	0,002	0,007	1,4	Kościuszki 2, budynek gminy, budynek niedostępny, pomiar przed budynkiem** -DPP	0,064	0,063
A1	1,9	5,94	0,005	0,016	1,3	Grodzieńskich 10, budynek usługowo-handlowy, wejście** -DPP	0,153	0,151
B1	1,5	4,69	0,004	0,012	1,2	Grodzieńskich 8, budynek szkoły, niedostępny, pomiar przed bramą** -DPP	0,121	0,119
C1	0,8	2,50	0,002	0,007	1,7	Aleja Jana Pawła II 12A/12B, pomiar przed bramą, odmowa dysponentów** -DPP	0,064	0,063
D1	0,8	2,50	0,002	0,007	1,5	Aleja Jana Pawła II 12, budynek banku, niedostępny, pomiar przed budynkiem** -DPP	0,064	0,063
E1	0,8	2,50	0,002	0,007	1,4	Aleja Jana Pawła II 12D, budynek usługowo-handlowy, wejście** -DPP	0,064	0,063
F1	0,9	2,82	0,002	0,007	1,5	Aleja Jana Pawła II 12E, budynek usługowo-handlowy, wejście** -DPP	0,072	0,071
G1	1,3	4,07	0,003	0,011	1,2	Aleja Jana Pawła II 14, budynek usługowo-handlowy, wejście** -DPP	0,105	0,103
H1	<0,7*	-	<0,002	-	0,3-2,0	Aleja Jana Pawła II 5, pomiar przed budynkiem, odmowa dysponentów** -DPP	-	-
I1	0,8	2,50	0,002	0,007	1,4	Aleja Jana Pawła II 1C, budynek usługowo-handlowy, wejście** -DPP	0,064	0,063
J1	1,1	3,44	0,003	0,009	1,3	Aleja Jana Pawła II 1B, budynek banku, niedostępny, pomiar przed budynkiem** -DPP	0,088	0,087
K1	<0,7*	-	<0,002	-	0,3-2,0	Traugutta 8, pomiar przed bramą, brak dysponentów** -DPP	-	-
L1	1,1	3,44	0,003	0,009	1,7	Konstytucji 3 Maja 2, budynek restauracji, zamknięty, pomiar przed budynkiem** -DPP	0,088	0,087
M1	0,9	2,82	0,002	0,007	1,5	Aleja Jana Pawła II 1, budynek banku, niedostępny, pomiar przed budynkiem** -DPP	0,072	0,071
N1	1,1	3,44	0,003	0,009	1,4	Aleja Jana Pawła II 6, budynek poczty, brak dostępu, pomiar przed budynkiem** -DPP	0,088	0,087
O1	1,8	5,63	0,005	0,015	1,5	Grodzieńskich 7/9/11/13/15, pomiar przed bramą, odmowa dysponentów** -DPP	0,145	0,143
P1	0,8	2,50	0,002	0,007	1,2	Grodzieńskich 6, budynek usługowo-handlowy, wejście** -DPP	0,064	0,063

„Bez pisemnej zgody Laboratorium niniejsze sprawozdanie nie może być powielane inaczej, jak tylko w całości. Ponadto wyniki dotyczą tylko badanych obiektów przywołanych w niniejszym sprawozdaniu z badań”

R1	0,8	2,50	0,002	0,007	1,5	Grodzieńskich 6A, budynek usługowo-handlowy, wejście** -DPP	0,064	0,063
S1	0,8	2,50	0,002	0,007	1,4	Grodzieńskich 6B, budynek usługowo-handlowy, wejście** -DPP	0,064	0,063

* poniżej czułości zestawu pomiarowego

**Zgodnie z rozporządzeniem pkt 14, dysponent został poinformowany z 3 dniowym wyprzedzeniem.

GKP - główne kierunki pomiarowe

PKP - pomocnicze kierunki pomiarowe

DPP- dodatkowe punkty pomiarowe

PP – pion pomiarowy

U - niepewność pomiarowa rozszerzona, przy poziomie ufności 95%, z uwzględnieniem współczynnika rozszerzenia $k=2$

C_k – współczynnik pomiarowy badanej stacji podany przez operatora ($C_k=1,0$)

C_s - poprawka pomiarowa zastosowany w przypadku występowania innych instalacji na obszarze pomiarowym ($C_s=2,$)

WM_E - wartość wskaźnikowa poziomu emisji pól elektromagnetycznych dla miejsc dostępnych dla ludności dla składowej elektrycznej pola

WM_H - wartość wskaźnikowa poziomu emisji pól elektromagnetycznych dla miejsc dostępnych dla ludności dla składowej magnetycznej pola

7. Stwierdzenie zgodności

Na podstawie wytycznych podanych w Rozporządzeniu Ministra Zdrowia z dnia 17 grudnia 2019 r. w sprawie dopuszczalnych poziomów pól elektromagnetycznych w środowisku (Dz.U. 2019 poz. 2448) oraz sposobów sprawdzania dotrzymania tych poziomów zgodnie z Rozporządzeniem Ministra Klimatu z dnia 17 lutego 2020 r. w sprawie sposobów sprawdzania dotrzymania dopuszczalnych poziomów pól elektromagnetycznych w środowisku (Dz.U. 2020 poz. 258) dotyczących źródła wymagań, które muszą być spełnione (załącznik do rozporządzenia Ministra Klimatu z dnia 17 lutego 2020 r. (poz. 258)), w oparciu o zasadę podejmowania decyzji zgodną z pkt 26 załącznika do rozporządzenia Ministra Klimatu z dnia 17 lutego 2020 r. (poz. 258), na podstawie wyników pomiarów pól elektromagnetycznych wykonanych w dniu 06.04.2020 stwierdzono, iż w miejscach dostępnych dla ludności, dopuszczalne poziomy pól elektromagnetycznych w środowisku, określone w przepisach wydanych na podstawie art. 122 ust. 1 ustawy z dnia 27 kwietnia 2001 r. – Prawo ochrony środowiska, uznaje się za dotrzymane w obszarze pomiarowym, w którym w wyniku zastosowania sposobu sprawdzenia dotrzymania dopuszczalnych poziomów pól elektromagnetycznych w środowisku, udokumentowano, że żadna z wartości wskaźnikowych nie przekracza wartości 1.

8. Oświadczenie.

Wyniki badania odnoszą się wyłącznie do badanego obiektu.

Bez pisemnej zgody sprawozdanie nie może być powielane inaczej, jak tylko w całości.

Uwagi i zastrzeżenia przyjmowane są w formie pisemnej w ciągu 14 dni od daty otrzymania sprawozdania.

9. Spis załączników.

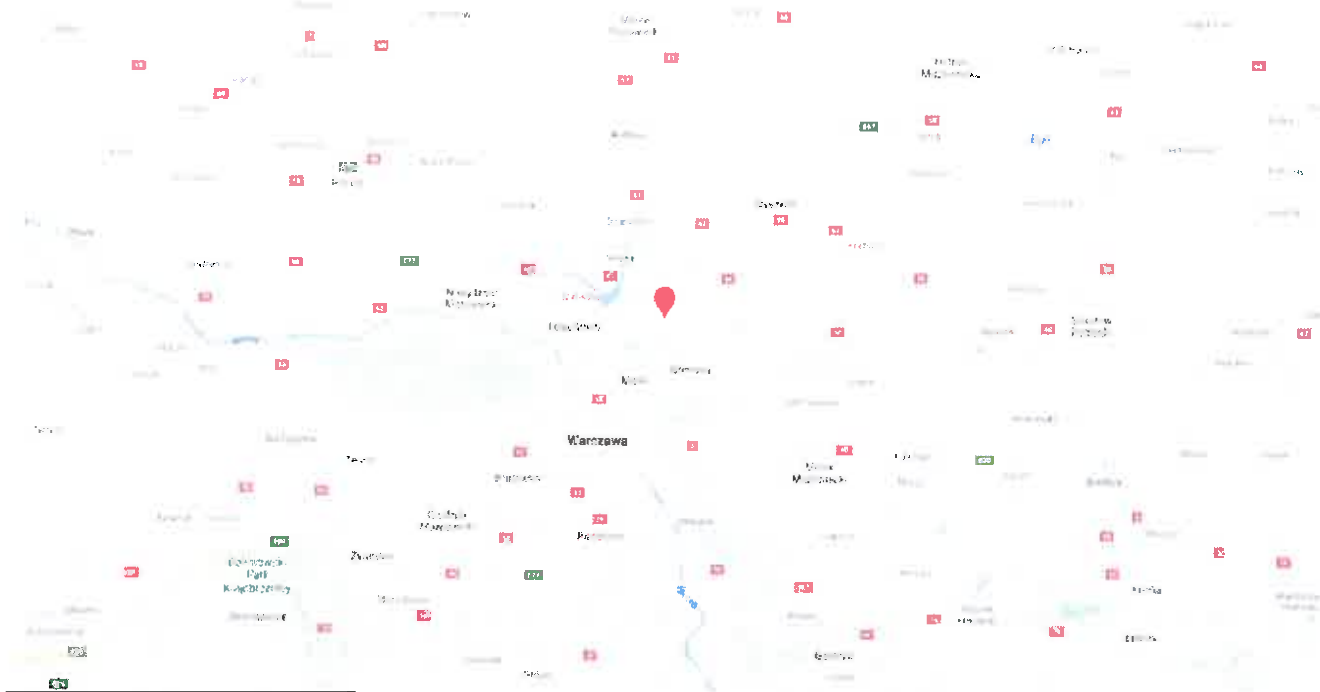
Załącznik 1. Lokalizacja obiektu.

Załącznik 2. Widok pionów pomiarowych

Załącznik 3. Załączniki graficzne

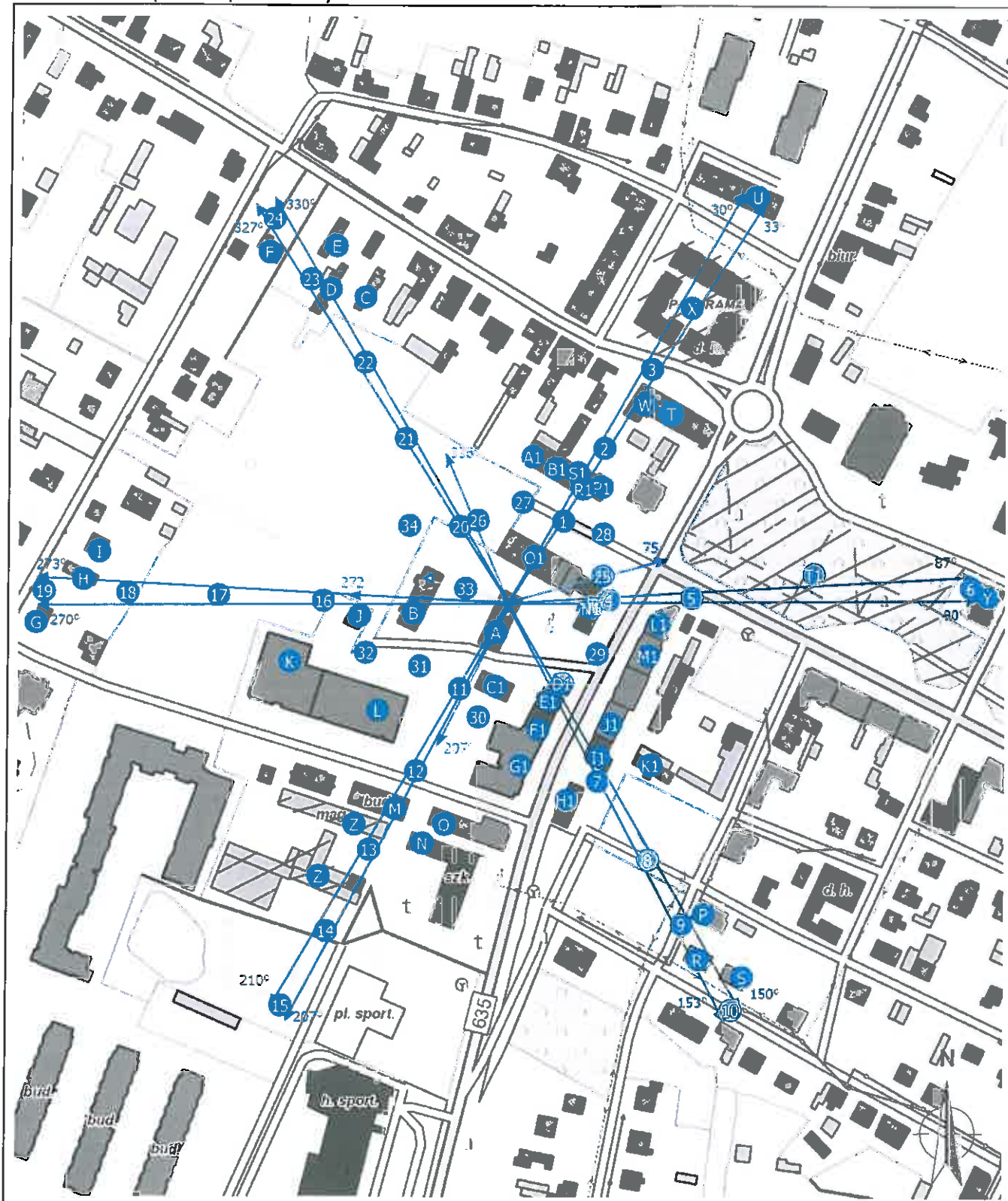
Koniec sprawozdania

Zař. 1. Lokalizacja obiektu









Wspóřzędne geograficzne	
długość:	21°10'45.2"E
szerokość:	52°25'02.6"N

Załącznik 2. Widok pionów pomiarowych



LEGENDA:

-  inna instalacja radiokomunikacyjna
 -  punkt pomiarowy z poprawką pomiarową Ck (podaną przez operatora)
 -  punkt pomiarowy z poprawką pomiarową Cs (w zasięgu innych instalacji radiokomunikacyjnych)
 -  antena sektorowa
 -  antena radiolowa
 -  brak dostępu
- Odstęłość, do której zostały wykonane pomiary mierząc od instalacji antenowej wynosi min. 253 metrów.

Skala: 1:1500



Załącznik 3. Załączniki graficzne.

